

ОПРЕДЕЛЕНИЕ ВРЕМЕНИ ПЕРЕХОДНОГО ПРОЦЕССА ПРИ КОНТАКТОРНОМ ПУСКЕ ПОДЪЕМНОЙ МАШИНЫ

В. Д. ПЕТУНОВ

(Представлено научно-технической конференцией горного факультета)

Если принять за базисные единицы опрокидывающий момент асинхронного двигателя M_k , критическое скольжение s_k и пренебречь активным сопротивлением статорной обмотки, то получим универсальное уравнение механической характеристики [1]

$$\lambda = \frac{2\sigma}{1 + \sigma^2}, \quad (1)$$

где $\lambda = \frac{M}{M_k}$ — относительный момент;

$\sigma = \frac{s}{s_k}$ — относительное скольжение.

Уравнение (1) пригодно для всех двигателей с фазным ротором при любой величине активного сопротивления в роторной цепи.

Для упрощения расчетов и графических построений рекомендуется [2, 3] взамен криволинейной механической характеристики, выраженной уравнением (1), применять спрямленные механические характеристики, определяемые синхронной и номинальной скоростью вращения. Уравнение спрямленной характеристики

$$\lambda = \kappa_1 \sigma, \quad (2)$$

где κ_1 — угловой коэффициент, характеризующий жесткость механической характеристики.

Для номинального момента двигателя

$$\frac{1}{\gamma_M} = \kappa_1 \sigma_H, \quad (3)$$

где γ_M — перегрузочная способность двигателя,

σ_H — относительное номинальное скольжение.

Угловой коэффициент

$$\kappa_1 = \frac{2}{1 + \sigma_H^2} = \frac{\gamma_M + \sqrt{\gamma_M^2 - 1}}{\gamma_M}. \quad (4)$$

Из (4) видно, что угловой коэффициент зависит только от перегрузочной способности двигателя. Для двигателей, используемых в шахтном подъеме, $\kappa_M = 1,8 \div 2,8$ и $\kappa_1 = 1,83 \div 1,94$. Сравнительные расчеты (табл. 1) показывают, что криволинейную характеристику можно заменить спрямленной только в интервале относительных скольжений $\sigma = 0 \div 0,3$.

Доктор технических наук Л. Б. Гейлер [4] и инж. Г. М. Каялов [5] для приближенной замены уравнения криволинейной характеристики предложили уравнение параболы

$$\lambda = 2\sigma - \sigma^2. \quad (5)$$

Относительная ошибка при использовании этого уравнения

$$\frac{\Delta \lambda}{\lambda} = \frac{\sigma^3 - 2\sigma^2 + \sigma}{2}. \quad (6)$$

Максимальная ошибка получается при $\sigma = 1/3$ и составляет 7,41 % опрокидывающего момента двигателя. Эта ошибка, пересчитанная к номинальному моменту, будет составлять от 13,3 до 20,7 % соответственно для двигателей с перегрузочной способностью 1,8 и 2,8. Сравнительные расчеты (табл. 2) показывают, что уравнение параболы (5) можно использовать при $\sigma \geq 0,7$, т. е. в области скольжений, близких к критическим.

Уравнение криволинейной механической характеристики (1) можно выразить в следующем виде

$$\lambda = 2\sigma - \lambda_1 \sigma^2 \quad (7)$$

и для более точной замены использовать уравнение параболы

$$\lambda = 2\sigma - \beta \sigma^2, \quad (8)$$

где β — поправочный коэффициент, определяемый условиями пуска.

Очевидно, что уравнение (5) есть частный случай уравнения (8), в котором $\beta = 1$. При контакторном пуске можно принять

$$\beta = \frac{\lambda_1 + \lambda_2}{2}, \quad (9)$$

где λ_1 и λ_2 — соответственно максимальный пусковой момент и момент переключения.

Из уравнений (7) и (8) видно, что наименьшая погрешность достигается при равенстве поправочного коэффициента и момента двигателя в относительных единицах. Расчеты показывают (табл. 2), что уравнением параболы (8) с соответствующим поправочным коэффициентом можно заменить уравнение криволинейной характеристики.

Хорошие результаты дает замена уравнения (1) уравнением параболы, не проходящей через точку синхронной скорости

$$\lambda = 2\sigma - \beta \sigma^2 + \beta - 1, \quad (10)$$

где $\beta = 1,04 \div 1,06$.

Таблица 1

Сравнение криволинейной и прямолинейной механических характеристик

σ	0,1	0,2	0,3	0,4	0,5	0,6	0,7	0,8	0,9	1,0
$i = \frac{2\pi}{1 + \sigma^2}$	0,198	0,385	0,551	0,689	0,800	0,882	0,940	0,975	0,994	1,0
$i_1 = 1,83 \sigma$	0,183	0,366	0,550	0,732	0,915	1,10	1,28	1,46	1,65	1,83
$\frac{i_1}{\lambda} \cdot 100 \%$	92,3	95,0	100	106	114	125	136	150	166	183
$i_2 = 1,94 \sigma$	0,194	0,388	0,582	0,776	0,970	1,16	1,36	1,55	1,75	1,94
$\frac{i_2}{\lambda} \cdot 100 \%$	98,0	101	106	113	121	132	145	159	176	194

Таблица 2

Сравнение криволинейной механической характеристики и параболической виды $\lambda = 2x \beta_x$

σ	0,1	0,2	0,3	0,4	0,5	0,6	0,7	0,8	0,9	1,0
<i>Уравнение</i>										
$\lambda = \frac{2\sigma}{1+x^2}$	0,198	0,385	0,551	0,689	0,800	0,882	0,940	0,975	0,994	1,0
$\lambda_1 = 2\sigma - 0,4x^2$	0,196	0,384	0,564	0,736	0,900	1,056	1,204	1,341	1,476	1,60
$\lambda_1/\lambda \cdot 100 \%$	99	100	102	107	113	120	128	138	148	160
$\lambda_2 = 2\sigma - 0,5x^2$	0,195	0,380	0,555	0,720	0,875	1,020	1,155	1,280	1,395	1,50
$\lambda_2/\lambda \cdot 100 \%$	98,5	99	101	105	110	116	123	131	140	150
$\lambda_3 = 2\sigma - 0,6x^2$	0,194	0,376	0,546	0,704	0,850	0,984	1,106	1,216	1,314	1,40
$\lambda_3/\lambda \cdot 100 \%$	98	97,6	99	102	106	112	118	125	132	140
$\lambda_4 = 2\sigma - 0,7x^2$	0,193	0,372	0,537	0,688	0,825	0,948	1,057	1,152	1,233	1,30
$\lambda_4/\lambda \cdot 100 \%$	97,5	96,7	97,5	100	103	108	112	118	124	130
$\lambda_5 = 2\sigma - 0,8x^2$	0,192	0,368	0,528	0,672	0,800	0,912	1,008	1,088	1,152	1,20
$\lambda_5/\lambda \cdot 100 \%$	97	95,6	95,7	97,5	100	103	107	112	116	120
$\lambda_6 = 2\sigma - 0,9x^2$	0,191	0,364	0,519	0,656	0,775	0,876	0,959	1,024	1,071	1,10
$\lambda_6/\lambda \cdot 100 \%$	96,5	94,5	94,5	95,5	97	99,2	102	105	108	110
$\lambda_7 = 2\sigma - x^2$	0,190	0,360	0,510	0,640	0,750	0,840	0,910	0,960	0,990	1,0
$\lambda_7/\lambda \cdot 100 \%$	96	93,5	92,6	93,8	95,4	96,8	98,5	99,6	99,6	100

Таблица 3

Сравнение криволинейной механической характеристики и параболической видов $\lambda = 2\sigma - \beta\sigma^2 + \gamma\sigma^3$

σ	0,1	0,2	0,3	0,4	0,5	0,6	0,7	0,8	0,9	1,0
$\lambda = \frac{2\sigma}{1+\sigma^2}$	0,198	0,385	0,551	0,689	0,800	0,882	0,940	0,975	0,994	1,0
$\lambda_1 = 2\sigma - 1,04\sigma^2 + 0,04$	0,230	0,398	0,546	0,674	0,780	0,866	0,931	0,975	0,998	1,0
$\frac{\lambda_1}{\lambda} \cdot 100\%$	116	103	99	98	97,5	98,2	99,3	100	100	100
$\lambda_2 = 2\sigma - 1,05\sigma^2 + 0,05$	0,240	0,408	0,555	0,682	0,788	0,872	0,936	0,978	1,0	1,0
$\frac{\lambda_2}{\lambda} \cdot 100\%$	121	106	101	99	98,4	98,8	99,6	100	100,5	100
$\lambda_3 = 2\sigma - 1,06\sigma^2 + 0,06$	0,249	0,418	0,565	0,690	0,795	0,878	0,941	0,982	1,0	1,0
$\frac{\lambda_3}{\lambda} \cdot 100\%$	126	108	102	100	99,5	99,5	100	101	100,5	100

Т а б л и ц а 4
Сравнение криволинейной и механической характеристики и параболической виды $t = 2\pi - 1,15^\circ$

Уравнение	σ	0,1		0,2		0,3		0,4		0,5		0,6		0,7		0,8		0,9		1,0			
		0,198	0,385	0,551	0,689	0,800	0,882	0,940	0,975	0,994	1,0	0,179	0,248	0,498	0,622	0,722	0,796	0,848	0,880	0,898	0,903	0,903	
$\lambda = \frac{2\pi}{1 + \sigma^2}$																							
$\lambda_1 = 0,52\lambda$																							
$\lambda_1/\lambda_1 100\%$		90,3	90,3	90,3	90,3	90,3	90,3	90,3	90,3	90,3	90,3	90,3	90,3	90,3	90,3	90,3	90,3	90,3	90,3	90,3	90,3	90,3	
$\lambda_2 = 2\pi - 1,152$		0,189	0,356	0,501	0,624	0,725	0,804	0,861	0,896	0,909	0,909	0,909	0,909	0,909	0,909	0,909	0,909	0,909	0,909	0,909	0,909	0,909	
$\lambda_2/\lambda_1 100\%$		102	102	100	100	100	100	100	100	100	100	100	100	100	100	100	100	100	100	100	100	100	100

Проведенные расчеты (табл. 3) показывают, что уравнение параболы (10) при относительных скольжениях $\sigma > 0,2$ довольно точно заменяет уравнение (1).

В действительных условиях эксплуатации подъемных машин часто имеет место понижение напряжения при пуске на 5 % от номинального. При таком снижении напряжения с достаточной точностью, что подтверждается расчетами, приведенными в табл. 4, можно воспользоваться уравнением параболы

$$\lambda = 2\sigma - 1,1\sigma^2. \quad (11)$$

Графическое построение всех указанных характеристик приведено на рис. 1.

Напишем уравнение движения при пуске подъемной машины с постоянным радиусом навивки в следующем виде:

$$\lambda - \lambda_{cm} = -T \frac{d\sigma}{dt}, \quad (12)$$

где λ_{cm} — относительный момент статического сопротивления, который считается постоянным на все время пуска, так как нагрузка от разности веса канатов за время пуска практически составляет менее 3 % веса полезного груза;

T — механическая постоянная времени, сек.

Механическая постоянная времени

$$T = \frac{\mu v_0 s_k}{\gamma_m}, \quad (13)$$

где μ — отношение приведенной массы к номинальному усилию двигателя на валу барабана;

v_0 — скорость подъема, соответствующая синхронной скорости двигателя, м/сек.

Время переходного процесса

$$t = T \int_{\sigma_1}^{\sigma_2} \frac{d\sigma}{\lambda - \lambda_{cm}}, \quad (14)$$

где σ_1 и σ_2 — соответственно начальное и конечное скольжение в относительных единицах.

Совместное решение (1) и (14) дает

$$t = T \int_{\sigma_1}^{\sigma_2} \frac{(\sigma^2 + 1) d\sigma}{\lambda_{cm} \sigma^2 - 2\sigma + \gamma_{cm}}. \quad (15)$$

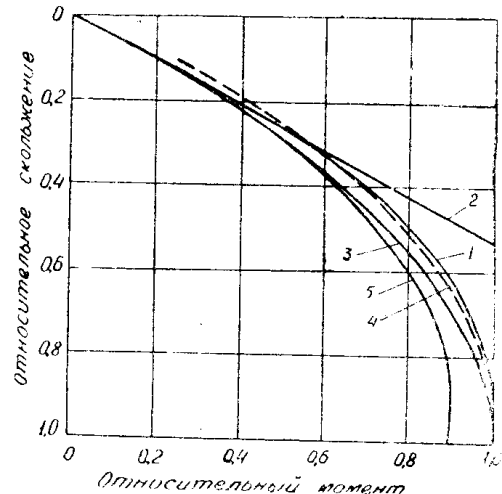


Рис. 1. Универсальные механические характеристики асинхронного двигателя.

Кривые построены:

1—по уравнению $\lambda = \frac{2\sigma}{1 + \sigma^2};$

2—по уравнению $\lambda = K_1\sigma$, при $K_1=1,90$; 3—по уравнению $\lambda = 2\sigma - \sigma^2$;

4—по уравнению $\lambda = 2\sigma - \beta\sigma^2 + \beta - 1$, при $\beta=1,6$; 5—по уравнению $\lambda = 2\sigma - 1,1\sigma^2$.

Уравнение (15) разбивается на два табличных интеграла. После подстановки пределов интегрирования и преобразований имеем

$$t = T \alpha^2 \left[\operatorname{Cl} \ln \frac{(A - \sigma^2)(\sigma_1 - B)}{(A - \sigma_2)(\sigma_2 - B)} - \right. \\ \left. - \ln \frac{2\alpha\sigma_1 - \sigma_1^2 - 1}{2\alpha\sigma_2 - \sigma_2^2 - 1} - \frac{\sigma_1 - \sigma_2}{\alpha} \right], \quad (16)$$

где

$$\alpha = \frac{1}{\gamma_{cm}};$$

$$B = \alpha - \sqrt{\alpha^2 - 1};$$

$$A = \alpha + \sqrt{\alpha^2 - 1};$$

$$C = \frac{\alpha}{\sqrt{\alpha^2 - 1}}.$$

Полученное выражение считается наиболее точным для определения времени разгона и примерно в таком же виде приводится в литературе [6]. Когда конечное скольжение незначительно отличается от установленного, например разница между ними составляет 15—20 %, имеем $B \approx \sigma_2$. При этом первый член уравнения (16) дает существенную ошибку, из-за которой общий результат может получиться с погрешностью до 30—50 %. Поэтому следует избегать формул, в которые входит разность близких величин [7] и использовать взамен (16) следующее уравнение:

$$t = T \alpha^2 \left[\operatorname{Cl} \ln \frac{A\sigma_1 + B\sigma_2 - \sigma_1\sigma_2 - 1}{A\sigma_2 + B\sigma_1 - \sigma_1\sigma_2 - 1} - \right. \\ \left. - \ln \frac{2\alpha\sigma_1 - \sigma_1^2 - 1}{2\alpha\sigma_2 - \sigma_2^2 - 1} - \frac{\sigma_1 - \sigma_2}{\alpha} \right]. \quad (17)$$

Однако уравнения (16) и (17) являются сложными для практического применения. Более просто поставленная задача решается при использовании уравнений (2), (5), (8) и (10).

Совместное решение (2) и (14) дает

$$t = \frac{T}{\kappa_1} \ln \frac{\kappa_1\sigma_1 - \gamma_{cm}}{\kappa_1\sigma_2 - \gamma_{cm}}. \quad (18)$$

Полученная формула (18) является наиболее простой, но пользоваться ею можно только при относительных скольжениях до 0,30.

Решение уравнений (5) и (14) дает

$$t = \frac{T}{2\alpha} \ln \frac{(A - \sigma_2)(\sigma_1 - B)}{(A - \sigma_1)(\sigma_2 - B)}, \quad (19)$$

$$\text{где } \alpha = \sqrt{1 - \gamma_{cm}}; A = 1 + a; B = 1 - a.$$

Раскрывая скобки в уравнении (19), получим

$$t = \frac{T}{2a} \ln \frac{A\sigma_1 + B\sigma_2 - \sigma_1\sigma_2 - \lambda_{cm}}{A\sigma_2 + B\sigma_1 - \sigma_1\sigma_2 - \lambda_{cm}}. \quad (20)$$

Полученные уравнения (19 – 20) значительно проще (16 – 17). Ими рекомендуют пользоваться доктор технических наук Л. Б. Гейлер [4] и канд. техн. наук Л. Г. Живов [6]. Однако Л. Б. Гейлер рассматривает случай внезапного увеличения нагрузки на валу двигателя и его работу вблизи от точки опрокидывания, при этом замечена криволинейной характеристики параболической почти не имеет расхождений по моменту и по скольжению, а следовательно, и по времени переходного процесса. Следует только помнить, что для этих формул критическое скольжение определяется из уравнения параболической характеристики

$$s_k = s_n \gamma_m \left(1 + \sqrt{1 - \frac{1}{\gamma_m}} \right), \quad (21)$$

где s_n — номинальное скольжение.

Совместное решение уравнений (8) и (14) дает время переходного процесса

$$t = \frac{T}{2a} \ln \frac{(A - \beta\sigma_2)(\beta\sigma_1 - B)}{(A - \beta\sigma_1)(\beta\sigma_2 - B)} \quad (22)$$

или

$$t = \frac{T}{2a} \ln \frac{A\sigma_1 + B\sigma_2 - \beta\sigma_1\sigma_2 - \lambda_{cm}}{A\sigma_2 + B\sigma_1 - \beta\sigma_1\sigma_2 - \lambda_{cm}}, \quad (23)$$

где

$$a = \sqrt{1 - \beta\lambda_{cm}}; \quad A = 1 + a; \quad B = 1 - a.$$

Пределы моментов для определения поправочного коэффициента находятся из уравнения криволинейной механической характеристики путем постановки соответствующих скольжений.

Совместное решение уравнений (10) и (14) дает время переходного процесса

$$t = \frac{T}{2a} \ln \frac{(A - \beta\sigma_2)(\beta\sigma_1 - B)}{(A - \beta\sigma_1)(\beta\sigma_2 - B)} \quad (24)$$

или

$$t = \frac{T}{2a} \ln \frac{A\sigma_1 + B\sigma_2 - \beta\sigma_1\sigma_2 + \beta - 1 - \lambda_{cm}}{A\sigma_2 + B\sigma_1 - \beta\sigma_1\sigma_2 + \beta - 1 - \lambda_{cm}}, \quad (25)$$

где

$$a = \sqrt{1 - \beta(1 + \lambda_{cm} - \beta)}; \quad A = 1 + a; \quad B = 1 - a.$$

Если $\beta = 1,04 \div 1,06$, то можно принять

$$a = 1,03 \sqrt{1 - \lambda_{cm}}. \quad (26)$$

Часто бывает необходимым определить время разгона на естественной характеристике двигателя от момента переключения до момента статического сопротивления. Этот участок механической харак-

теристики может быть заменен отрезком прямой. Примем ускорение, соответствующее начальному моменту статического сопротивления, составляющим 1 % от ускорения при переключении [6]. Тогда искомое время

$$t \approx 2,5 T. \quad (27)$$

Полное время отпуска складывается из времени разгона на отдельных ступенях с учетом времени предварительных ступеней и времени, необходимого для достижения установившейся скорости на естественной характеристике.

ЛИТЕРАТУРА

1. Бычков В. П. Графические методы построения кривых асинхронного двигателя. Электричество, № 9, 1945.
2. Балашев И. А. Расчет металлических реостатов и настройка контакторных панелей рудничных подъемных установок. Известия ТГИ, т. 67, 1949.
3. Шклярский Ф. Н. Физико-механические основы электрического рудничного подъема. Углехимизд, т. 1953.
4. Гейлер Л. Б. О переходном режиме асинхронного двигателя при внезапном изменении нагрузки на валу. Электричество, № 8, 1937.
5. Каюлов Г. М. Работа асинхронного двигателя при вращающем моменте, близком к опрокидывающему. Вестник электропромышленности, № 7, 1937.
6. Живов Л. Г. Привод и автоматика шахтных подъемных машин. Машгиз, 1952.
7. Безикович Я. С. Приближенные вычисления. ГИТТЛ, 1941.